



جوشنگاری غیرهمجنس فولاد زنگ نزن AISI 316L به طریق جوشکاری همزنی اصطکاکی

محسن عباسی بهارانچی^{*} ، سید باقر عسکری

مهندسی مواد و متالورژی، دانشگاه آزاد اسلامی، نجف آباد، ایران.

(دریافت مقاله: ۱۳۹۷/۰۱/۲۰؛ پذیرش مقاله: ۱۳۹۷/۰۴/۰۵)

چکیده

در این پژوهش جوشکاری ورق های فولادی EN 10025 و ۳۱۶ به روش جوشکاری همزنی - اصطکاکی مورد بررسی قرار گرفت و پارامترها توسط نرم افزار روش سطح پاسخ بهینه سازی شدند. جهت بررسی خواص مکانیکی و متالورژیکی اتصال، آزمایش های ریز سختی و آزمایش کشش و متالوگرافی توسط میکروسکوپ نوری و الکترونی رویشی مجهز به سیستم آنالیز شیمیایی انجام و مناطق مختلف شامل ناحیه همزده، مناطق متأثر از حرارت، فصل مشترک ها و ناحیه متأثر از حرارت و کار مکانیکی مورد ارزیابی قرار گرفت. نتایج بهینه سازی نشان داد که بهترین اتصال با بیشترین استحکام در سرعت چرخش ۹۵۰ دور بر دقیقه، حرکت خطی ۹۰ میلی متر بر دقیقه و زاویه انحراف ۳ درجه حاصل می شود ۳۱۲MPa شکست در تمامی آزمایش های کشش ازفلز پایه EN 10025 سمت پیش رونده اتفاق افتاد و بیشترین استحکام با پارامترهای بهینه در اتفاق می افتد. نتایج متالوگرافی نشان داد که اندازه دانه در ناحیه همزده ۱۰ تا ۲۰ برابر کاهش می یابد و باعث بهبود خواص مکانیکی اتصال می شود. همچنین نتایج آنالیز شیمیایی خطی و نتایج سختی بر روی نمونه جوشکاری شده با پارامترهای بهینه نشان از اختلاط نسبتاً مناسب در ناحیه همزده می باشد.

کلمات کلیدی: جوشکاری همزنی، EN 10025، ۳۱۶L، خواص مکانیکی.

Dissimilar Welding of EN 10025 Carbon Steel to AISI 316L Stainless Steel by Friction Stir Welding

M. Abasi Baharanchi*, S. B. Askari

Faculty of Engineering, Department of Materials and Metallurgical engineering. Najafabad University, Iran.

(Received 9 April 2018 ; Accepted 26 June 2018)

Abstract

In the present Study, a dissimilar joint of carbon steel sheet EN 10025 with 316L has been welded by FSW and the welding parameters were optimized by RSM software method. For investigation of mechanical properties and microstructural analysis carried out by using optical, scanning electron microscopes with EDS analysis, tensile and

*نویسنده مسئول، پست الکترونیکی: SBA1357@yahoo.com

hardness test of different area of joints, SZ, TMAZ, HAZ, their interfaces and Base metal. The optimized result were shown that best of joints within maximum strength (UTS) 312 MPa by rotational speed 950 rpm, transverse speed 90 mm/min and tool angle 3° was achieved. The failures were happened at base metal of EN 10025 to advancing side. Metallographic results were shown that grain size at SZ is 10 to 20 time more reduced caused improved of mechanical properties. Also chemical analysis and hardness result on welded samples by optimized parameters were shown that quite good mixing was happened at SZ.

Keywords: Friction Stir Welding, EN 10025 , 316 L, Mechanical Properties.

پارامترها به طور قابل ملاحظه‌ای بستگی به ضخامت و جنس ورق‌های مورد اتصال دارد [9و10]. به عنوان مثال انتخاب سرعت چرخش و سرعت پیش روی ابزار برای اتصال آلومینیوم با ضخامت 3 میلی متر بسیار متفاوت است با یک فولاد با همان ضخامت، که این موضوع اهمیت صحیح انتخاب پارامترهای فرایند جوشکاری همزنی - اصطکاکی را نشان می‌دهد. جعفرزادگان و همکاران [11] فولادهای St37 و فولاد زنگ نزن 304 را به روش جوشکاری همزنی - اصطکاکی، با سرعت پیش روی ثابت و با سرعت چرخش‌های 400 و 800 دور بر دقیقه جوشکاری کردند. آنها دریافتند نمونه‌ای که با سرعت چرخش کمتری جوشکاری شده، نسبت به نمونه‌ای که با سرعت چرخش بیشتر جوشکاری شده دارای درصد ازدیاد طول بیشتر و استحکام کمتری است. همچنین در سطح مقطع نمونه‌ای که با سرعت چرخش بیشتری جوشکاری شده ذرات کاریید تنگستان مشاهده شد، که باعث کاهش انعطاف پذیری جوش شد. غفارپور و همکاران [2] آلومینیوم 6061 و 5083 را توسط فرایند جوشکاری همزنی - اصطکاکی اتصال دادند و تاثیر سرعت چرخش و سرعت پیش روی ابزار، قطر پین، قطر شانه، توسط نرم افزار دیزاین اکسپرت² (DOE) طراحی آزمایش، و پارامترهای فوق را بهینه‌سازی کردند و یک بازه امنی برای انتخاب پارامترها معرفی کردند، همچنین در ادامه تست‌هایی نظری ارتفاع محدود گنبدی³ بر روی نمونه‌های جوشکاری انجام دادند و ملاحظه کردند نمونه جوشکاری شده با پارامترهای بهینه بیشترین شکل پذیری را در مقایسه با دیگر نمونه‌ها دارد. یزدی‌پور و همکاران [12] آلومینیوم 5083 و فولاد زنگ نزن L 316 را

1- مقدمه

امروزه با توجه به پیشرفت‌های فراوان که در صنایع مختلف از جمله صنعت جوشکاری و اتصالات صنعتی صورت گرفته است، تحقیق و توسعه در این صنعت یک امر الزامی به نظر می‌رسد. فرایند جوشکاری همزنی یک روش اتصال دهنده پیشرفته و نوین است که امروزه در صنایع مختلف از جمله صنایع خودرو، صنایع هواپی، صنایع نظامی، صنایع ریلی و صنایع پتروشیمی و پالایشگاه به کار گرفته می‌شود [1] که در این میان به دلیل مزایای منحصر بفرد این فرایند در صنعت خودروسازی بطور گسترده مورد توجه قرار گرفته است [2]. جوشکاری همزنی - اصطکاکی به دلیل عدم ذوب قطعات مورد اتصال و عدم وجود مشکلات و عیوب موجود در فرایندهای جوشکاری ذوبی، دارای ظاهر و کیفیت بسیار بالایی می‌باشد [3] و در اتصالات فلزات غیر هم‌جنس و فلزات غیر آهنی مورد توجه قرار گرفته است [4]. تحقیقات صورت گرفته نشان می‌دهد که پارامترهای فرایند جوشکاری همزنی نقش بسیار مهمی در کیفیت و خواص مکانیکی اتصال دارد [6، 3.2] که از جمله اثرگذارترین این پارامترها سرعت چرخش ابزار، سرعت پیش روی، زاویه انحراف، قطر پین، قطر شانه¹ و پین، جهت چرخش ابزار، هندسه ابزار می‌باشد. به عنوان مثال در اکثر مطالعات انجام شده مشخص گردید با انتخاب پارامترهای جوشکاری همزنی در یک بازه محدودی می‌توان اتصال قابل قبول و عاری از عیوبی ایجاد کرد و انتخاب پارامترها خارج از این محدوده، خواص مکانیکی اتصال را به شدت کاهش می‌دهد [7و8]. همچنین ملاحظه گردید انتخاب و تنظیم

ورق‌های فولاد ساده کربنی EN 10025 و فولاد زنگ نزن آستنیتی L 316 به ضخامت ۱/۵ میلی متر با پارامترهای متفاوت انجام شد. ترکیب شیمیایی دو فولاد فوق در جدول (۱) گزارش شده است. برای جوشکاری از ابزار کاربید تنگستن با پین مخروطی استفاده شده است. شکل (۱) هندسه ابزار کاربید تنگستن مورد استفاده در این تحقیق را نشان می‌دهد. همچنین برای جوشکاری از دستگاه فرز سه محوره و قید فولادی از جنس St57 استفاده شد. شکل (۲) دستگاه فرز و سیستم قید و بند را نشان می‌دهد. همچنین با توجه به نتایج آزمایشگاهی ملاحظه گردید بهترین نتیجه جوشکاری زمانی اتفاق می‌افتد که فولاد EN 10025 سمت پیش ران و فولاد زنگ نزن L 316 در سمت پس ران قرار گیرند و اگر جای فولادها تغییر کند جوش حاصله از لحاظ بازرسی چشمی کیفیت مناسب را ندارد. بنابراین در تحقیق حاضر تمامی فولادهای EN 10025 در سمت پس را قرار داده شده اند. بعد از انجام جوشکاری همزنی، نمونه‌های تهیه شده پس از سنباده کاری توسط محلول نایتال ۲ درصد در مدت زمان ۲۰ ثانیه حکاکی شدند [۱۱] و ریزساختاری نمونه‌ها در بزرگنمایی مختلف با استفاده از میکروسکوپ نوری مجهر به نرم افزار تحلیل تصاویر و میکروسکوپ الکترونی رویشی مجهر به آنالیز عنصری صورت گرفت و از نمونه جوشکاری شده با پارامترهای بهینه آنالیز عنصری خطی در مناطق فلز پایه، منطقه متأثر از حرارات و ناحیه همزده گرفته شد. نمونه‌های آزمایش کشش بر اساس استاندارد ASTM-E8 [۱۵] مطابق شکل (۳) آماده سازی شدند. ریز سختی و یکرز روی سطح مقطع نمونه‌ها و عمق ۰/۷۵ میلی متری زیر سطح انجام شد و میزان بار دستگاه ۱۰۰ گرم و مدت زمان اعمال بار ۱۵ ثانیه تنظیم شد [۱۶].

۳- نتایج و بحث

در این بخش ابتدا برای بررسی نتایج سه پارامتر سرعت چرخش، سرعت پیش روی ابزار و زاویه انحراف و تاثیر هر یک از پارامترهای فوق آزمایش‌هایی از طریق باکس و بنکن تحت رویه مونتگومری، توسط نرم‌افزار DOE طراحی آزمایش

توسط فرایند جوشکاری همزنی اتصال دادند، در آن پژوهش در سرعت چرخش ابزار ثابت با اعمال تغییر سرعت پیش روی ابزار (315, 250, 200 mm/min, 160) ملاحظه شده است که با افزایش سرعت پیش روی از ۱۶۰ و ۲۰۰ میلی متر بر دقیقه بیشتر، عیوبی از جمله تکه‌های بزرگ فولاد در سطح مقطع فولاد بوجود می‌آید که باعث کاهش استحکام اتصال می‌شود. آقای رامش و همکاران [۱۳] فولاد کم آلیاژ استحکام بالا^۱(HSLA) را با فرایند جوشکاری همزنی اتصال دادند و ارتباط بین میکروساختار و استحکام کششی را مورد بررسی قرار دادند، ملاحظه شده است که در سرعت‌های پیش روی ۵۷, ۶۷, ۷۷ mm/min استحکام قابل قبول و مناسبی حاصل می‌شود، اما در سرعت‌های بیشتر از ۷۷ mm/min استحکام بشدت کاهش می‌یابد. چو^۲ و همکاران، [۱۴] فولاد فریتی ۴۰۹ را توسط روش جوشکاری همزنی با موفقیت اتصال دادند. آنها دریافتند که در ناحیه همزده^۳ ساختار کاملاً ریزدانه و دارای سختی بالا است که این امر به دلیل تبلور مجدد ناشی از تغییر شکل برشی و حرارت بالا می‌باشد. در این پژوهش در مرحله اول امکان‌سنجی تولید و قابلیت این روش جوشکاری در ایجاد ورق‌های جوش خورده ترکیبی مورد بررسی قرار گرفته و سپس در مرحله دوم تاثیر پارامترهای این روش مطالعه قرار گرفته است. همانطور که گفته شد، ورق‌های جوش خورده ترکیبی بسیار در صنایع مورد توجه است، ولی متأسفانه تحقیقات بسیار اندکی روی فرایند جوشکاری همزنی ورق‌های فولادی جوش خورده ترکیبی غیرهمجنس با ضخامت کم انجام گرفته است. از این رو جوشکاری فولادهای غیرهمجنس، فولاد کربنی EN 10025 و فولاد زنگ نزن L 316 توسط جوشکاری همزنی - اصطکاکی و بررسی خواص مکانیکی و متالورژیکی آن احساس شد.

۲- مواد و روش تحقیق

در این پژوهش عملیات جوشکاری همزنی - اصطکاکی روی

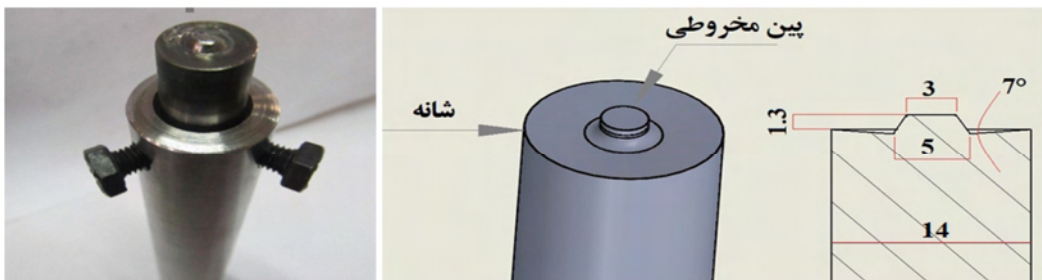
1- High Strength Low-Alloy Steel

2 Cho

3 Stir Zone (SZ)

جدول ۱- ترکیب شیمیایی فولادهای EN 10025 و L 316

عنصر	Fe	N	S	P	Si	Mn	Mo	Ni	Cr	C
EN 10025	با قیمانده	۰/۰۰۹	۰/۰۵	۰/۰۵	-	-	-	-	۰/۱۷	۰/۰۳
۳۱۶ L	با قیمانده	۰/۱	۰/۰۳	۰/۰۴۵	۰/۷۵	۲	۳	۱۲	۱۷	۰/۰۳



شکل ۱- هندسه ابزار و سه نظام تعییه شده برای نگه داشتن ابزار.

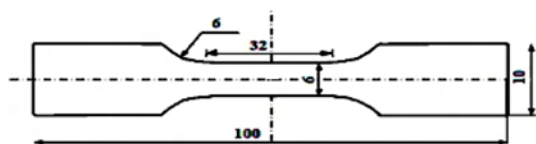
مشکی بیانگر ایجاد جوش با ظاهر قابل قبول می‌باشد. با توجه به آزمایش‌های انجام شده در شکل (۴) و مطالعه منابع [۱۱، ۳، ۱] و [۵۰۰، ۱۵۰۰] مشخص گردید، محدوده سرعت چرخش بین ۳۱/۵ تا ۱۵۰۰ دور بر دقیقه می‌تواند جوش‌های قابل قبولی از لحاظ ظاهری ایجاد کند و برای سرعت پیش روی محدوده ۱۶۰ میلی متر بهترین بازه می‌باشد. در شکل (۶) بعضی از نمونه‌ها جوشکاری شده با پارامترهای عنوان شده در شکل (۴) نشان داده شده است. همچنین محدوده زاویه انحراف بین ۲ تا ۴ درجه [۹، ۸] در نظر گرفته شده است. برای طراحی آزمایش سه پارامتر سرعت چرخش، سرعت پیش روی و زاویه انحراف به عنوان عوامل مسئله، هر کدام با سه سطح مشخص شده‌اند. جدول (۲) مقادیر سطوح بالا و پایین این ۳ پارامتر متغیر را که بر اساس اصول روش مونتگومری صورت گرفته است را نشان می‌دهد. سطح میانی ممنوع شده در جدول (۲) برای هر عامل مطابق روش باکس بنکن میانگین مربوط به سطوح بالا و پایین می‌باشد. برای بررسی پارامترهای متغیر برای دست‌یابی به ورق جوشکاری شده جدول طراحی آزمایش‌ها به کمک نرم افزار از روش باکس و بنکن^۱ استخراج شده است.

جدول (۳) ۱۷ عدد آزمایش طراحی شده و استحکام نهایی ورق‌های جوش خورده مطابق با پارامترهای مشخص شده در طراحی آزمایش‌ها را نشان می‌دهد. اطلاعات ورودی در این

شده است و سپس تابع هدف بصورت مدل ریاضی تعریف چهار نمونه (a)، (b)، (c) و (d) خواص مکانیکی و متالورژیکی آنها مورد ارزیابی قرار می‌گیرند. از این‌رو ابتدا به بررسی آزمایش کشش و سختی و در ادامه به متالوگرافی نمونه‌ها و بررسی ریزساختار توسط تصاویر میکروسکوپ الکترونی مجهر به آنالیز عنصری پرداخته می‌شود.



شکل ۲- دستگاه فرز سه محوره و قید مورد استفاده در این تحقیق.



شکل ۳-: نمونه آزمایش کشش، طبق استاندارد ASTM E8.

۱-۳- طراحی آزمایش توسط روش سطح پاسخ (RSM) در شکل (۴) نقاط سفید رنگ و نقاط مشکی ملاحظه می‌گردد که نقاط سفید بیانگر ایجاد جوش با ظاهر غیر قابل قبول و نقاط

جدول ۲- سطوح بالا و پایین و میانی عوامل مورد بررسی.

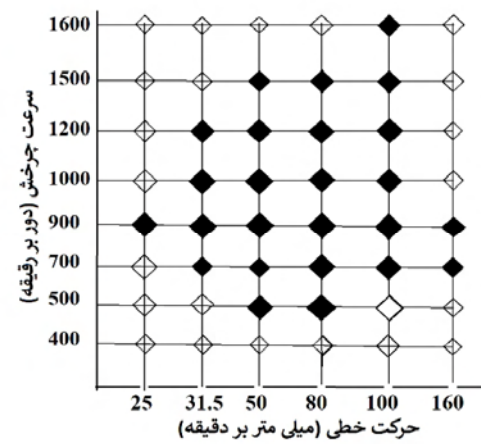
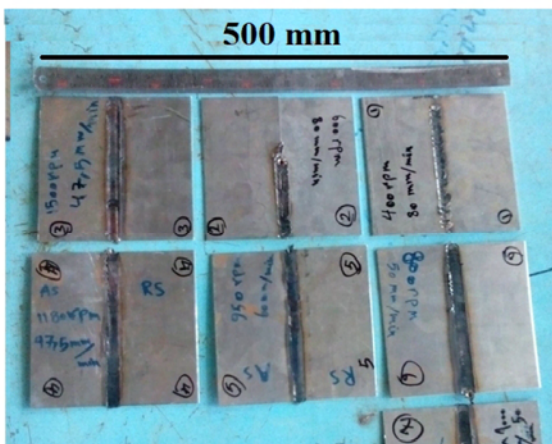
پارامترها	سطح پایین	سطح میانی	سطح بالا
سرعت دورانی ابزار(دور بر دقیقه)	۵۰۰	۱۰۰۰	۱۵۰۰
سرعت حرکت خطی ابزار(میلی بر دقیقه)	۳۱/۵	۹۵	۱۶۰
زاویه انحراف (درجه)	۲	۳	۴

جدول ۳- آزمایش های طراحی شده به روش باکس و بنکن و نتایج استحکام نهایی در آزمایش کشش برای هر آزمایش.

شماره آزمایش	سرعت دورانی (rpm)	سرعت خطی (mm/min)	زاویه انحراف (Degree)	استحکام نهایی (Mpa)
۱	۱۰۰۰	۳۱/۵	۲	۲۴۰
۲	۱۵۰۰	۹۵/۷۵	۲	۲۵۰
۳	۱۰۰۰	۳۱/۵	۴	۱۵۰
۴	۱۰۰۰	۹۵/۷۵	۳	۳۰۷
۵	۱۰۰۰	۱۶۰	۴	۱۸۰
۶	۱۰۰۰	۹۵/۷۵	۳	۳۱۴
۷	۱۰۰۰	۹۵/۷۵	۳	۳۱۲
۸	۵۰۰	۹۵/۷۵	۲	۲۵۰
۹	۵۰۰	۳۱/۵	۳	۲۷۰
۱۰	۵۰۰	۹۵/۷۵	۴	۱۹۰
۱۱	۱۰۰۰	۱۶۰	۲	۲۱۰
۱۲	۱۵۰۰	۱۶۰	۳	۲۲۰
۱۳	۱۵۰۰	۳۱/۵	۳	۲۰۰
۱۴	۵۰۰	۱۶۰	۳	۲۰۰
۱۵	۱۵۰۰	۹۵/۷۵	۴	۱۸۰
۱۶	۱۰۰۰	۹۵/۷۵	۳	۳۰۰
۱۷	۱۰۰۰	۹۵/۷۵	۳	۳۰۸

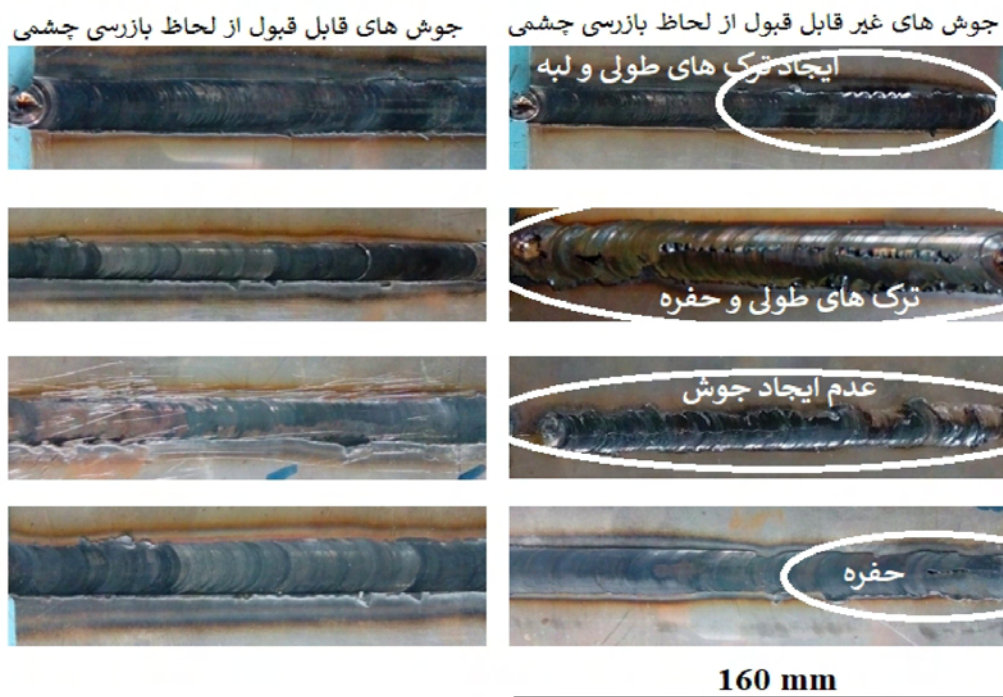
جایگزین اشاره شده در چدول (۴) نمونه بهینه جوشکاری شد. نمونه بهینه در این تحقیق نمونه (a) نام گذاری شده است. مطابق با چدول (۴) اتصال ایجاد شده با پارامترهای بهینه دارای استحکام پیش بینی $313/5 \text{ MPa}$ است، در حالی که حداکثر استحکام بدست آمده در نمونه جوشکاری شده با پارامترهای جایگزین و در دسترس 312 MPa می باشد. اختلاف این دو عدد کمتر از 1% است. این موضوع بیانگر صحت پیش بینی استحکام توسط طراحی آزمایش می باشد. شکل های (۷)، (۸) و (۹) گراف های خروجی طراحی آزمایش DOE و روش سطح پاسخ RSM را نشان می دهد پیش از تحلیل این گراف ها ذکر این قائد الزامی است که با افزایش سرعت چرخش و کاهش

نرم افزار دیزاین اکسپریت مطابق با چدول (۲) و (۳) می باشد و خروجی این نرم افزار شکل های (۷)، (۸) و (۹) و چدول (۴) است. لازم به ذکر است که رویه این طراحی آزمایش ها و بهینه سازی مطابق اصول روش مونتگومری صورت گرفته است. چدول (۴) مقادیر بهینه این پارامترها را برای جوشکاری همزنی - اصطکاکی ورق فولادی EN 10025 و ورق زنگ نزن L 316، با ضخامت $1/5 \text{ میلی متر}$ را نشان می دهد. مطابق با چدول (۴) پارامترهای بهینه پیش بینی شده سرعت چرخش، سرعت خطی و زاویه انحراف به ترتیب عبارتند از: $(923/1 \text{ rpm})$ ، $(87/53 \text{ mm/min})$ و $(2/72 \text{ deg})$ از آنجایی که امکان جوشکاری دقیقا با پارامترهای پیش بینی با دستگاه فرز در چدول (۴) سه محوره امکان پذیر نبود بنابراین پارامترهای



شکل ۴- تعیین سطوح بالا و پایین سرعت حرکت خطی و دورانی ابزار. نقاط مشکی اتصال سالم و نقاط سفید اتصال معیوب

شکل ۵- چند نمونه از اتصالات سالم و معیوب مطابق پارامترهای شکل (۴)



شکل ۶- چند نمونه از اتصالات سالم و معیوب، جوشکاری شده با پارامترهای شکل (۴)

تأثیر همزمانی را بر روی تابع هدف می‌گذارند. یعنی در کمترین استحکام و در سرعت‌های نزدیک به 1000 rpm و زاویه انحراف ۳ درجه بیشترین استحکام حاصل می‌شود. دلیل این موضوع را می‌توان به میزان اصطکاک و به دنبال آن حرارت ایجاد شده دانست. البته این حرارت ایجاد شده یک حد ماکزیمم دارد که با افزایش حرارت می‌تواند استحکام کثشی یا همان تابع هدف را کاهش دهد. همانطور که در شکل (۷) مشخص است با افزایش سرعت چرخش 1500 rpm و زاویه

سرعت پیش روی، حرارت ورودی به ناحیه همزده افزایش می‌یابد و بر عکس کاهش سرعت چرخش و افزایش سرعت پیش روی حرارت ورودی را کاهش می‌دهد و این موضوع در فرایند جوشکاری همنزی یک قاعده کلی محسوب می‌شود [۱۷, ۳] و هر سه پارامتر فوق بر روی تابع هدف (استحکام کثشی نهایی) تأثیر مستقیم می‌گذرد [۱۸].

با توجه به شکل (۷) سرعت چرخش 500 rpm و زاویه انحراف ۴ درجه ای تقریباً سرعت چرخش و زاویه

جدول ۴- مقادیر بهینه، پیش بینی شده توسط مدل متدولوژی سطح پاسخ و پارامترهای جایگزین در دسترس.

		پیش بینی شده	جایگزین و در دسترس
معیارها	سرعت دورانی (rpm)	۹۲۳/۱	۹۵۰
	سرعت خطی (mm/min)	۸۷/۵۳	۹۰
	زاویه انحراف (Degree)	۲/۷۲	۳
نتایج	استحکام کششی (MPa)	۳۱۳/۵	۳۱۲

جدول ۵- پارامترهای جوشکاری شده نمونه های (d) تا (a)

استحکام کششی نهایی (MPa)	زاویه انحراف (درجه)	حرکت خطی (mm/min)	سرعت چرخش (rpm)	نمونه
۳۱۲	۳	۹۰	۹۵۰	(a)
۳۰۶	۳	۸۰	۸۰۰	(b)
۳۰۰	۳	۴۷/۵	۱۵۰۰	(c)
۲۷۵	۲	۹۰	۷۵۰	(d)

جدول ۶- مقایسه نتایج آزمایش کشش نمونه (a) با فلزات پایه.

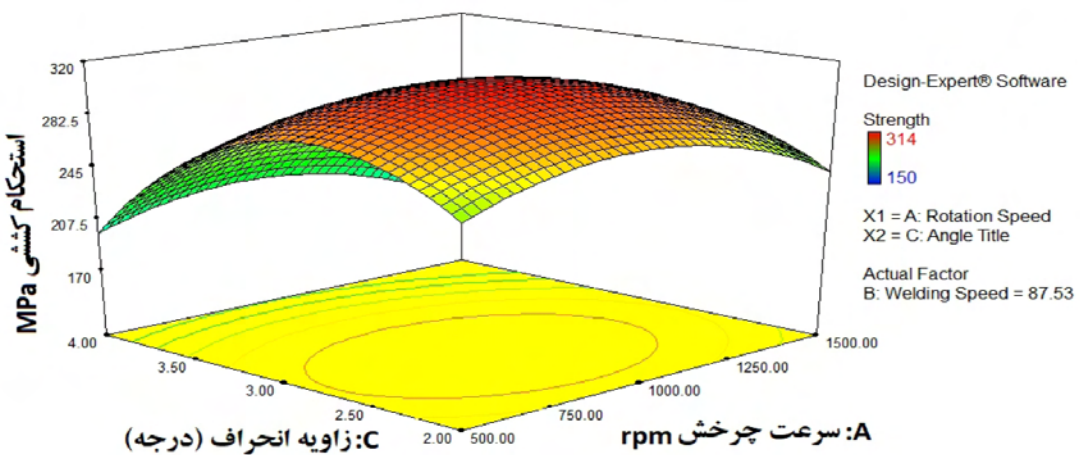
نمونه (a) (حالت بهینه)	EN ۱۰۰۲۵	(۳۱۶ L)	نمونه
۹۵۰	---	---	سرعت دوران (rpm)
۳	---	---	زاویه انحراف (درجه)
۹۰	---	---	سرعت حرکت خطی (mm/min)
۳۱۲	۳۲۰	۵۲۰	استحکام نهایی (MPa)
۱۵	۳۰	۶۰	کرنش (%)
فلز پایه EN ۱۰۰۲۵	فلز پایه	فلز پایه	محل شکست نمونه

را نشان می دهد. نمونه (a) که با پارامترهای بهینه جوشکاری شده است به دلیل حرارت ایجاد شده و عملیات مکانیکی، مناطق مختلف با خصوصیات مختلف در محل اتصال ایجاد می شود. با توجه به مطالعه مراجع [۱۹] و [۱۱.۹.۸.۳] می توان گفت دما در ناحیه همزده حدوداً به ۹۰۰-۱۰۰۰ درجه سانتی گراد، می رسد. بنابراین انتظار می رود که دانه های فریت در طرف پین و شانه در ناحیه همزده عملیات مکانیکی صورت می گیرد که باعث خرد شدن و ریزشدن دانه ها حدود ۱۰-۲۰ برابر می شود و در نهایت باعث بالا رفتن خواص مکانیکی اتصال می شود. در کمی دورتر از ناحیه همزده و ناحیه متأثر از ترمومکانیک^۲ (TMAZ) قرار دارد، این ناحیه بطور هم زمان تحت تاثیر حرارت و تحت تاثیر عملیات مکانیکی قرار

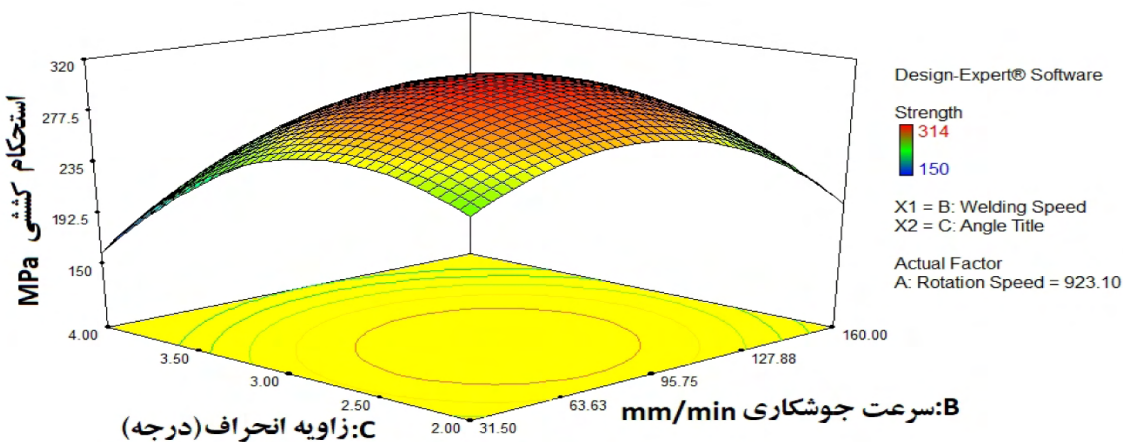
انحراف ۲ و ۴ درجه کمترین استحکام کششی حاصل می گردد. نمودارهای شکل (8) و (9) با در نظر گرفتن پارامترهای ثابت و متغیر دیگری نیز پاسخی مشابه نمودار شکل (7) دارند. با پیاده سازی متدولوژی سطح پاسخ و جوشکاری ورق های فولادی EN 10025 و فولاد زنگ نزن L 316 در حالت بهینه می توان به بیشترین استحکام اتصال دست یافت.

۳-۲- متالوگرافی

برای بررسی بهتر ریزساختار فلز جوش ۴ نمونه مطابق با پارامترهای اشاره شده در جدول (5) جوشکاری شده اند و هریک از نمونه ها به طور مجزا مورد بررسی قرار می گیرند. شکل (10) مکروگرافی^۱ نمونه های جوشکاری شده با پارامترهای متفاوت را توسط فرایند جوشکاری همنزی اصطکاکی



شکل 7- اثر پارامترهای متغیر سرعت دورانی ابزار و زاویه انحراف بر روی استحکام کششی ورق های جوش خورده



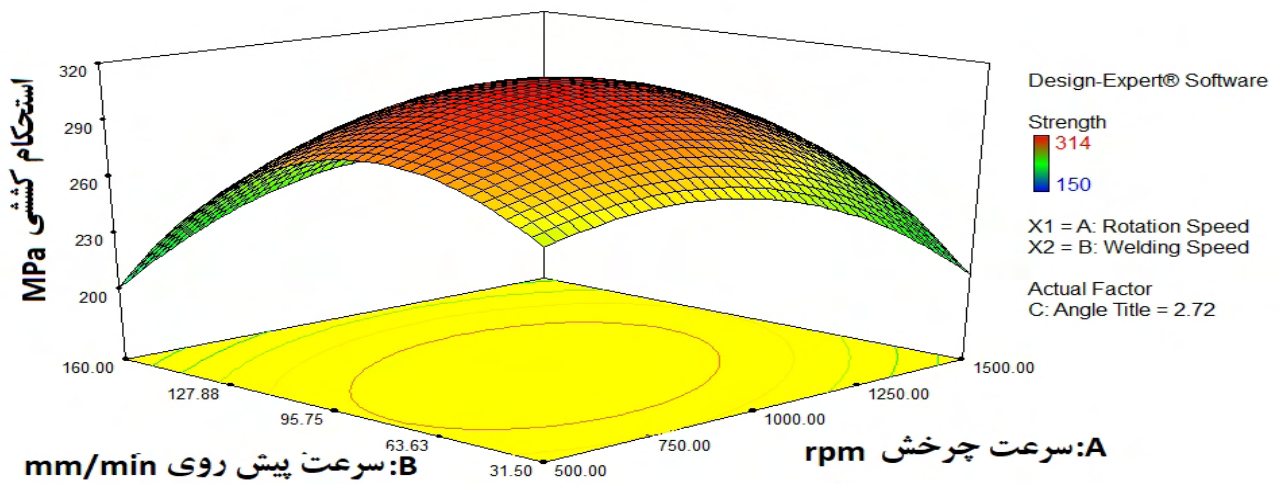
شکل 8- اثر پارامترهای متغیر سرعت خطی ابزار و زاویه انحراف بر روی استحکام کششی ورق های جوش خورده .

منطقه HAZ، منطقه TMAZ و ناحیه همزدہ نشان داده شده است. در این تصویر به خوبی و به طور همزمان شدت کار مکانیکی انجام شده در ناحیه همزدہ و منطقه TMAZ نشان داده شده است. اصطکاک بین ابزار و قطعه کارها باعث افزایش دما در ناحیه همزدہ می شود که این پدیده موجب تبلور مجدد شدید می شود. نتیجه آن کاهش چگالی نابجایی ها، رشد و افزایش اندازه دانه خواهد بود که در نهایت افزایش سختی و استحکام را به دنبال دارد [20].

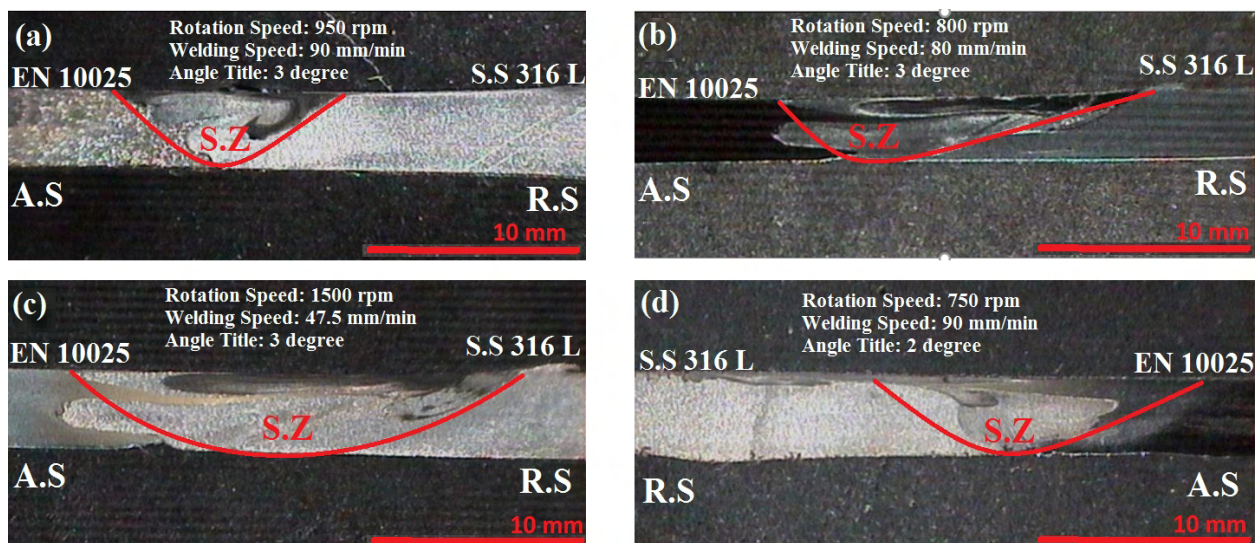
شکل (12) تصویر میکروسکوپی ناحیه همزدہ مربوط به نمونه (a) و جوشکاری شده با پارامترهای بهینه و سمت پس ران و فلز پایه L 316 است. در ناحیه همزدہ کار مکانیکی انجام شده و موجب ریزدانه شدن دانه ها می گردد و این موضوع باعث

می گیرد که شدت آن نسبت به ناحیه همزدہ به مراتب کمتر است. این موضوع باعث ریز شدن ساختار می شود. ناحیه متأثر از حرارت¹ (HAZ) بین ناحیه فلز پایه و ناحیه TMAZ قرار دارد. این ناحیه تحت تاثیر حرارت قرار می گیرد و عملیات مکانیکی در این منطقه صورت نمی گیرد. در این ناحیه مشاهده شد در بعضی قسمت ها اندازه دانه ها کشیده تر و بزرگتر از دانه های فلز پایه می باشد و یا اینکه حداقل اندازه دانه در منطقه HAZ برابر با فلز پایه می باشد دلیل این موضوع حضور دما و زمان می باشد که می تواند باعث رشد دانه های فریت بشود. با توجه به شکل (11) تصویر نمونه (a) جوشکاری شده با پارامترهای بهینه در سمت پیش ران مربوط به فولاد ساده کربنی EN 10025 مشخص است و بطور همزمان 4 ناحیه فلز پایه،

1-Heat Affected Zone (HAZ)



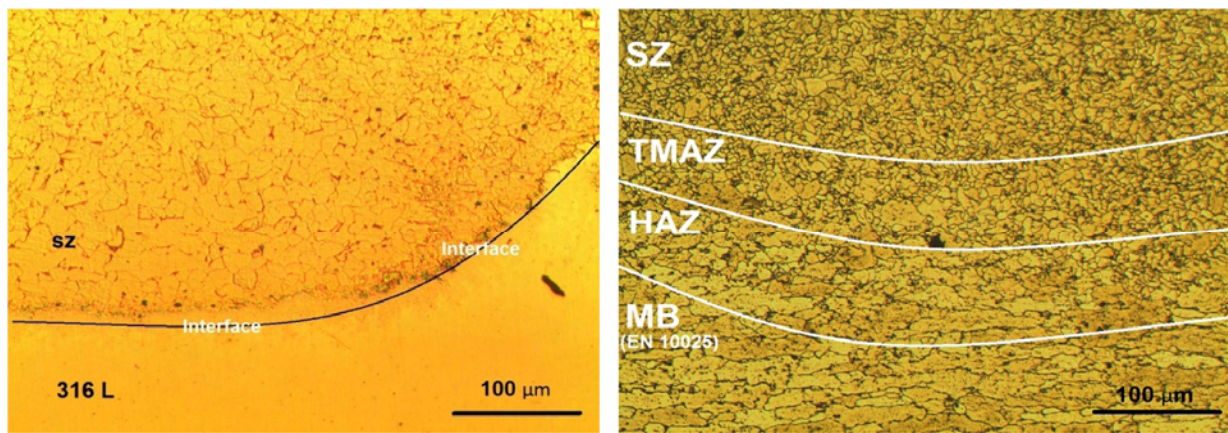
شکل ۹- اثر پارامترهای متغیر سرعت دورانی و سرعت خطی ابزار بر روی استحکام کششی ورق های جوش خورده.



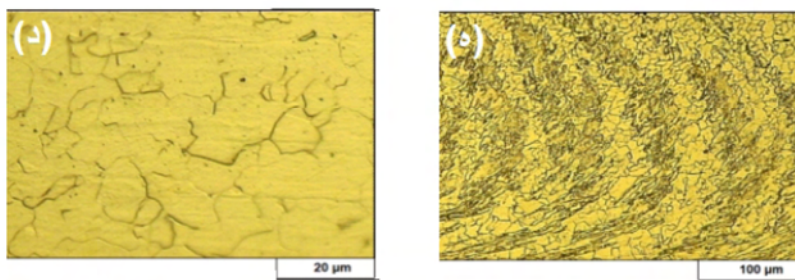
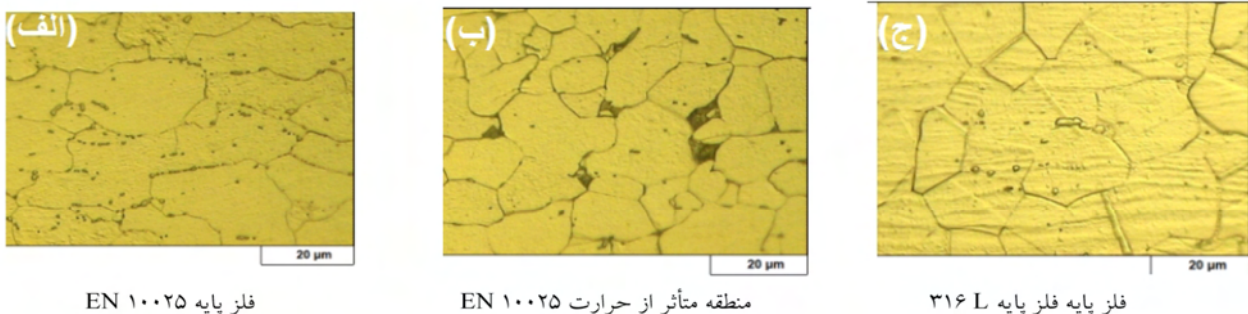
شکل ۱۰- تصاویر مacroگرافی نمونه های (a,b,c,d) جوشکاری شده توسط فرایند جوشکاری همزنی مطابق با جدول (۵)

پایه شده است و باعث بهبود خواص از جمله سختی در این ناحیه شده است، همچنین نواحی کوچک پر لیت در آن مشاهده می شود و تصویر (ج) مربوط به فلز پایه فولاد زنگ نزن L 316 می باشد، دانه های آستنیت حاوی نواحی دوقلویی به همراه ذرات دلتا فریت را نشان می دهد. تصویر (د) مربوط به منطقه متأثر از عملیات ترمومکانیکی می باشد و به دلیل حرارت و کار مکانیکی دانه ها ۲ تا ۳ برابر ریز دانه تر شده اند و حاوی نواحی دوقلویی به همراه ذرات دلتا فریت می باشد و قسمت (ه) مربوط به ناحیه همزنده می باشد که در این قسمت با دلیل

بهبود خواص مکانیکی در این ناحیه شده است. نمونه (b) که تقریباً با پارامترهای نزدیک به پارامترهای (a) جوشکاری شده است باعث ایجاد حرارت ورودی متعارف در نمونه (b) شده است. همچنین این نمونه دارای استحکام کششی مناسبی می باشد که با ساختار فلز جوش تناسب دارد. در شکل (13) تصویر (الف) که فلز پایه EN 10025 را نشان می دهد حاوی دانه های فریت همراه با توزیع ذرات سماتیت در زمینه و مرز دانه ها می باشد. تصویر (ب) که تحت تاثیر حرارت و کار مکانیکی قرار گرفته است باعث ریز دانه شدن دانه نسبت به فلز



شکل ۱۲- تصویر ماکروسکوپی مقطع نمونه (a) جوشکاری شده با پارامترهای بهینه فولاد ۳۱۶ L به EN 10025 سمت پیش رونده.

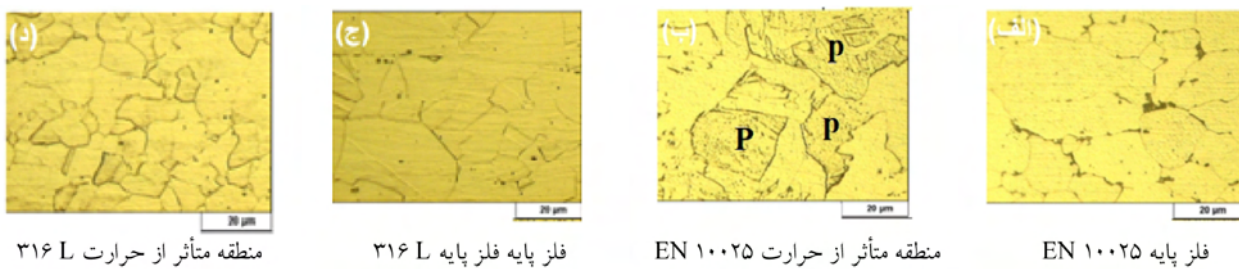


شکل ۱۳- تصاویر متالوگرافی نمونه (b) مطابق با جدول (5)

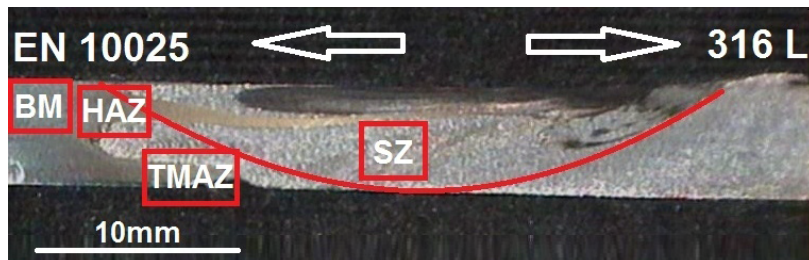
مشخص است. همانطور که از جدول (5) مشخص است در نمونه‌های (c) میزان سرعت چرخش نسبت به حالت (a) بیشتر و سرعت پیش‌روی نیز نسبت به حالت (a) کمتر است، به عبارتی به دلیل سرعت چرخش بیشتر و حرکت خطی کمتر، میزان اصطکاک بین شانه-قطعه کار و پین-قطعه کار بیشتر است و نتیجه آن میزان حرارت ورودی بیشتر در قطعه کار است، در این شرایط انتظار می‌رود اندازه دانه‌ها در منطقه HAZ که تحت تاثیر حرارت قرار می‌گیرد با رشد همراه شود این موضوع در شکل (14) تصویر (b) در منطقه HAZ فولاد EN 10025 مشخص است.

حرارت و کار مکانیکی بسیار زیاد اندازه دانه‌ها ۱۰ تا ۲۰ برابر کاهش پیدا کرده است و باعث افزایش استحکام اتصال شده است.

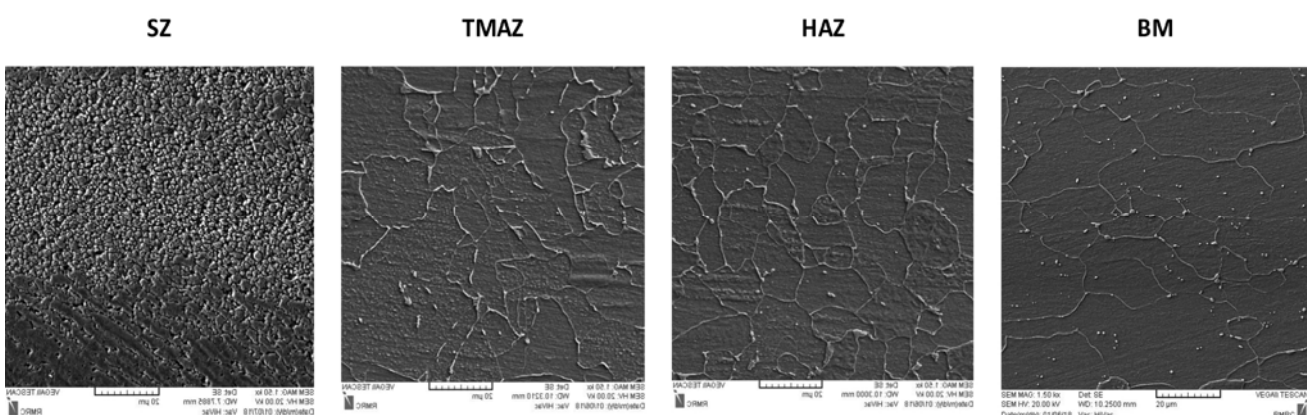
همچنین در این قسمت به دلیل اختلاط صورت گرفته بین دو فولاد ساده کربنی EN 10025 و فولاد زنگ نزن ۳۱۶ L لایه‌های فقیر و غنی از کروم و دیگر عناصر تشکیل شده و باعث ایجاد حلقه‌های پیازی شکل در ناحیه همزدہ گردیده است. حلقه‌های پیازی ایجاد شده در تصویر (e) به خوبی مشخص است.



شکل ۱۴- تصاویر متالوگرافی نمونه (c) مطابق با جدول (5)



شکل ۱۵- مناطق مشخص شده در تصویر مacroگرافی و تصویر برداری از مناطق مشخص شده مرتبط با شکل (16).



شکل ۱۶- تصویر میکروسکوپ الکترونی نمونه های (a)، مطابق با مناطق مشخص شده در شکل (15)

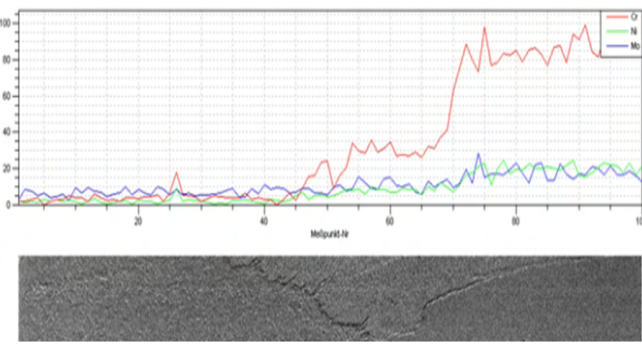
حرکت پیش روی تاثیر فراوانی بر روی خواص مکانیکی و متالورژیکی اتصال دارد، بنابراین در این بخش توسط میکروسکوپ الکترونی رویشی با استفاده از آشکارساز برگشتی^۱ به بررسی تصاویر و عنصری پرداخته می شود.

با بررسی ریزساختار فلز پایه ملاحظه شد، که فلز پایه EN 10025 ساختاری با زمینه کاملاً فریتی با مقدار کمی پرلیتی است، بطور میانگین اندازه دانه های فریت ۱۵۰ تا ۲۰۰ میکرومتر است این در حالی است که اندازه دانه در منطقه TMAZ به دلیل عملیات مکانیکی و حرارتی اندازه دانه ها به ۵۰ تا ۱۰۰ میکرومتر کاهش پیدا می کند که این موضوع طبق معادله هال-پیچ-رابطه (۱) باعث افزایش استحکام، و به دلیل افزایش

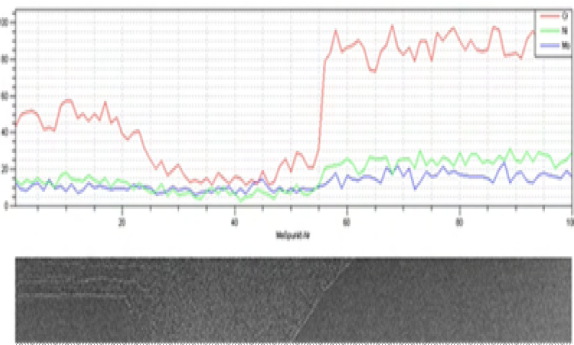
کاملاً مشهود است و ساختار ایجاد شده زمینه فریتی همراه با پرلیت بیشتر نسبت به دیگر نمونه ها است. لازم به ذکر است نمونه (c) به دلیل حرارت ورودی بالا و فشار از طرف شانه دچار کاهش ضخامت بیشتری در ناحیه همزده می شود و عملیات فورجینگ بیش از حد انتظار در این قسمت اتفاق می افتد و این موضوع می تواند عاملی برای کاهش استحکام کششی اتصال شود.

3-3- تصاویر میکروسکوپ الکترونی و آنالیز عنصری

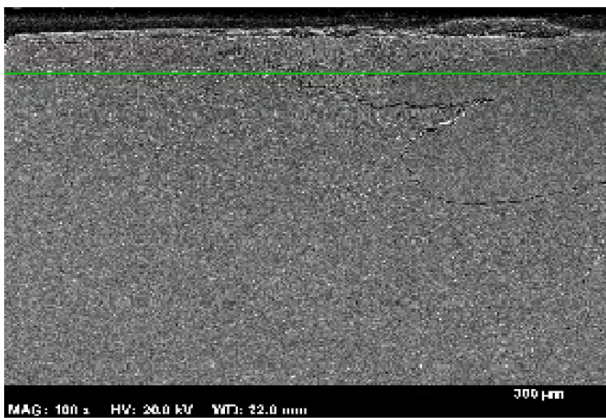
همانطور که در قسمت مقدمه ذکر شد پارامترهای فرایند جوشکاری همزنی بخصوص سرعت چرخش ابزار و سرعت



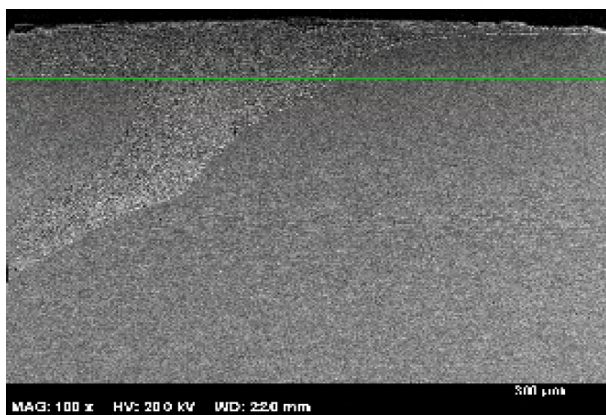
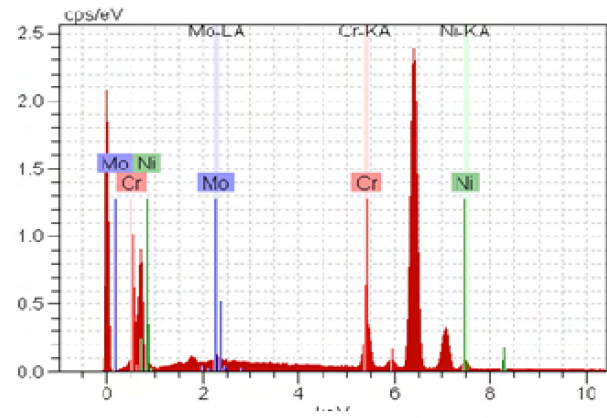
شکل ۱۸- گراف توزیع عناصر از فولاد ساده کربنی EN 10025 به طرف منطقه همزده در نمونه (a).



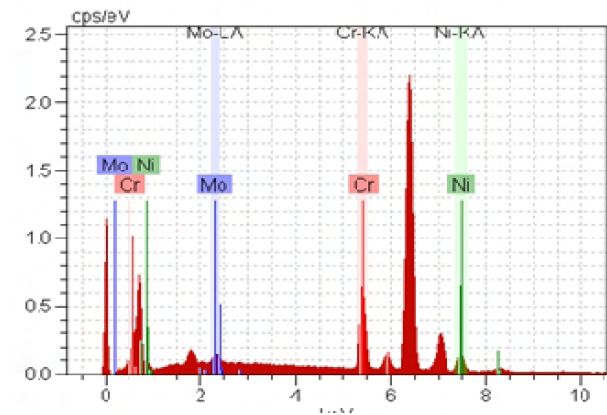
شکل ۱۷- گراف توزیع عناصر از فولاد L 316 به طرف منطقه همزده در نمونه (a).



شکل ۱۹- تصویر میکروسکوپ الکترونی و توزیع عناصر در آنالیز خطی (a) از سمت فولاد ساده کربنی EN 10025 به طرف ناحیه همزده.



شکل ۲۰- تصویر میکروسکوپ الکترونی و توزیع عناصر در آنالیز خطی (a) از سمت فولاد L 316 به طرف ناحیه همزده.



مجزا از ناحیه همزده به سمت فلز پایه EN 10025 نشان داده شده است. در فلز پایه L 316 زمینه حاوی ساختار آستینیت همراه با دانه‌های هم محور می‌باشد. از آنجایی که در ترکیب شیمیایی فولاد زنگ نزن L 316 عناصر فریت‌زایی نظیر کروم، مولیبدن و سیلیسیم می‌باشد، همواره مقداری فریت در ساختار

مرز دانه‌ها باعث انعطاف‌پذیری بیشتر می‌شود [21]. در رابطه (1) σ تنش جریان یا استحکام، σ^* و K ثابت‌های هم ارز و d قطر متوسط دانه می‌باشد.

در شکل (15) مناطق مشخص شده در تصویر ماکروگرافی و در شکل (16) تصاویر میکروسکوپ الکترونی مناطق فوق بطور



شکل ۲۱- نمونه های آزمایش کشش نمونه بهینه با فلزات پایه.

یکنواخت تر باشد همانطور که از شکل های (17) و (18) مشخص است عنصر کروم در قسمت فلزپایه EN 10025 نزدیک به صفر است و در ناحیه همزده شبی غلطی عنصر کروم بطور قابل ملاحظه ای افزایش می یابد و مجدداً در قسمتی از ناحیه همزده کروم کاهش پیدا می کند و آنالیز خطی وقتی به فلز پایه L 316 می رسد مجدداً کروم با افزایش رو برو می شود. این موضوع در مورد عناصر مولیبدن و نیکل نیز باشد کمتری صادق است که نشان از اختلاط دو فولاد مورد اتصال در یکدیگر می باشد. این نوع توزیع عناصر آلیاژی از فلز پایه EN 10025 به سمت فولاد زنگ نزن L 316 مؤید انتخاب صحیح پارامترهای فرایند جوشکاری همزدنی می باشد و صحت انجام طراحی آزمایش DOE و متداول‌تری سطح پاسخ را تأیید می کند. همچنین شکل (20) تصویر میکروسکوپی الکترونی و حضور عناصر آلیاژی در آنالیز خطی نمونه (a) از سمت فولاد L 316 به طرف ناحیه همزده را نشان می دهد.

5- آزمایش کشش

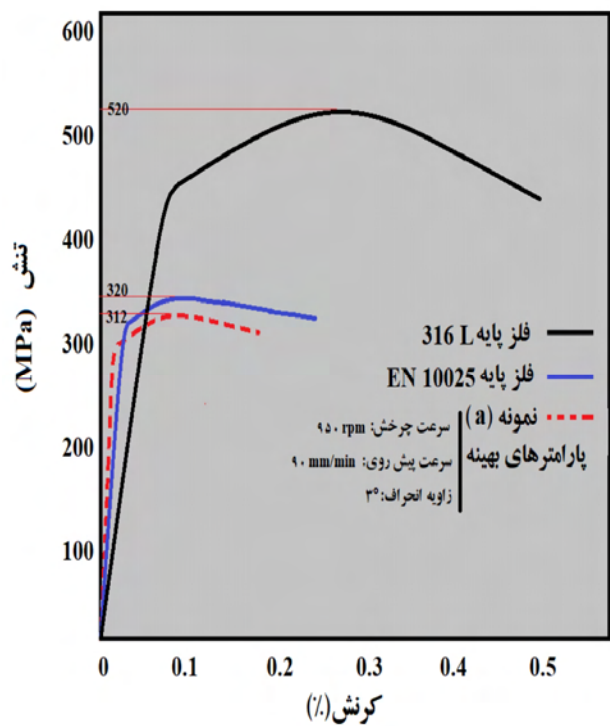
نمودارهای تنش بر حسب کرنش برای فولاد ساده کربنی EN 10025 و فولاد L 316 و همچنین نمونه (a) جوشکاری شده با پارامترهای بهینه در شکل های (21) و (22) نشان داده است.

وجود دارد. با توجه به کرم معادل و نیکل معادل میزان فریت موجود در فولاد زنگ نزن L 316 بین 10-۵% می باشد [9].

4- آنالیز خطی

در این قسمت به منظور بررسی تاثیر سرعت چرخش و سرعت پیش روی ابزار بر روی میزان اختلاط فلزات مورد اتصال و توزیع عناصر آلیاژی، آنالیز خطی EDS انجام شده است. بدین منظور از نمونه (a) آنالیز عنصری خطی گرفته شده است. لازم به توضیح است به دلیل بزرگ بودن طول خط Map در یک تصویر امکان Map از فلز پایه EN 10025 به طرف فلز پایه L 316 نمی باشد بنابراین این آنالیز عنصری خطی در دو مرحله انجام شده است. یک مرتبه از طرف فلز پایه EN 10025 به سمت ناحیه همزده و بار دیگر از طرف L 316 به سمت ناحیه همزده گرفته شده است. این تصاویر میکروسکوپی و آنالیز عنصری خطی در شکل های (17) و (18) نشان داده شده است. شکل (19) تصاویر میکروسکوپی الکترونی و حضور عناصر تاثیر گذار نیکل کروم و مولیبدن را از سمت فلز پایه EN 10025 به طرف ناحیه همزده نشان می دهد. با توجه به اینکه نمونه (a) با پارامترهای بهینه جوشکاری شده است، انتظار می رود توزیع عناصر بطور

می باشد. همچنین با توجه به شکل (22) فولاد زنگ نزن آستینیتی L 316 دارای بیشترین استحکام و بیشترین کرنش و نمونه (a) با پارامترهای بهینه دارای کمترین کرنش می باشد. دلیل آن را می توان ایجاد ناحیه سخت در ناحیه همزده دانست [23] که منتج به کاهش شکل پذیری و کاهش کرنش می شود [23]. نکته ای قابل تأمل در کرنش های بدست آمده این است که علی رغم شکست در فلز پایه EN 10025 در هر دو نمونه بدون جوش و نمونه جوش خورده با پارامترهای حالت بهینه میزان کرنش به ترتیب 30 و 15 درصد است. علت کرنش 15 درصد بوجود آمده در نمونه (a) جوشکاری شده با پارامترهای حالت بهینه را می توان ناشی از ریزدانه شدن در ناحیه همزده دانست که این موضوع می تواند باعث افزایش سختی و استحکام شود و به دنبال آن میزان تغییر شکل و کرنش را کاهش دهد بنابراین کرنش 15 درصدی ایجاد شده در نمونه جوشکاری شده با پارامترهای حالت (a) امری عادی و قابل قبول می باشد. جدول (6) مقایسه نتایج آزمایش کشش نمونه بهینه با فلزهای پایه را نشان می دهد.



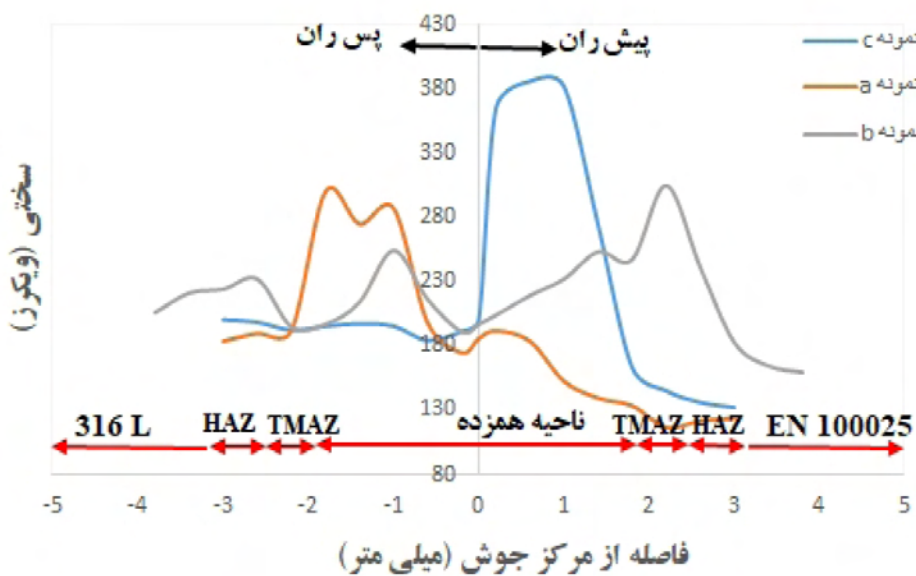
شکل 22- نمودار تنش کرنش، فلزات پایه و نمونه جوش خورده با پارامترهای بهینه.

در مقایسه با نمونه های معمول کشش، فرایند تغییر شکل و شکست در نمونه های جوشکاری شده از نواحی مختلف با خواص و رفتار متفاوت، تشکیل شده است. رفتار هر کدام از مناطق موجود در یک اتصال می تواند بر روی مناطق مجاور آن تأثیرگذار باشد. به عنوان مثال تطابق کرنش یک ناحیه نرم با ناحیه سخت مجاور آن می تواند دشوار بوده و تغییر شکل ناحیه نرم را محدود سازد. کار سختی ناشی از تغییر شکل کششی که ابتدا در ناحیه نرم تر رخ می دهد و تأثیر متقابل آن با ناحیه سخت می تواند ناحیه شکست نهایی را به موقعیت متفاوت دیگری انتقال دهد [22] و [23]. همانطور که از شکل (22) نمودار تنش و کرنش بر می آید، فولاد EN 10025 دارای استحکام کمتر (320MPa) نسبت به فولاد L 316 (520MPa) می باشد و مشاهده می شود نمونه جوشکاری شده با پارامترهای (a) اشاره شده در جدول (6) و در شرایط بهینه توسط روش سطح پاسخ جوشکاری شده است، از فلز پایه EN 10025 و از سمت پیش رونده (AS) دچار شکست می شود که این موضوع بیانگر انتخاب صحیح پارامترها

6-3- آزمایش سختی سنجی

پروفیل توزیع ریز سختی افقی و عمودی نمونه های (a)، (b) و (c) در شکل (23) نشان داده شده است. لازم به ذکر است نمونه (a) پارامتر بهینه و 950 rpm 90 mm/min و نمونه (b) با پارامترهای 800 rpm و 80 mm/min و نمونه (c) با پارامترهای 1500 rpm 5/47 mm/min مطابق جدول (5) جوشکاری شده است.

در شکل (23) همانطور که ملاحظه می شود به دلیل اتصال غیرهمجن سفید ساده کربنی EN 10025 و فولاد زنگ نزن L 316 توزیع غیر یکنواخت سختی در هر سه نمونه ملاحظه می شود. در نمونه (a) که با پارامترهای بهینه جوشکاری شده است نسبتاً با توزیع سختی یکنواخت تری همراه است که این موضوع می تواند دلیلی بر توزیع یکنواخت ناحیه همزده باشد. همانطور که از نمونه (a) بر می آید افزایش سختی از سمت فولاد ساده کربنی EN 10025 به سمت فولاد زنگ نزن L 316 می باشد و این افزایش سختی در ناحیه همزده، به دلیل



شکل 23- پروفیل ریز سختی سنجی افقی نمونه های جوشکاری شده مطابق با پارامترهای جدول (5).

در ناحیه همزده این نمونه در فاصله ۲ تا ۳ میلی متری از مرکز جوش و به سمت فولاد ساده کربنی EN 10025 ملاحظه می گردد سختی بطور قابل توجهی افزایش پیدا کرده است و این موضوع بیانگر اختلاط مناسب فولادهای مورد اتصال در یکدیگر است و همانطور که از تصویر ماکروگرافی این نمونه شکل (10) نمونه (b) بر می آید فولاد L 316 در ناحیه همزده به سمت فولاد EN 10025 کشیده شده است. در نمونه (c) که با پارامترهای قابل قبول نیز جوشکاری شده است به دلیل سرعت حرکت خطی پایین و سرعت چرخش بالا نسبت به نمونه بهینه سازی شده (سرعت چرخش rmp 1500 و سرعت حرکت خطی 50mm/min) اصطکاک زیادی بین شانه ابزار-قطعه کار و پین-قطعه کار بوجود می آید که نتیجه آن بالا رفتن دمای پین و حرارت ورودی در قطعه کار می باشد. همچنین عملیات ترمومکانیکی باعث ریز شدن دانه ها می گردد [1] و این امر باعث بالا رفتن سختی در ناحیه همزده می شود و انعطاف پذیری منطقه جوش را کاهش می دهد [6].

4-نتیجه گیری

-ورق های غیر همجنسب فولاد زنگ نزن L 316 و فولاد 25 EN 100025

اختلاط از سمت فولاد EN 10025 به سمت فولاد L 316 می باشد که توزیع اختلاط در تصویر ماکروگرافی شکل (10) نمونه (a) و در قسمت آنالیز خطی در شکل های (17) و (18) به خوبی نشان داده شده است. در نمونه (a) حداقل سختی در منطقه فلز پایه EN 10025 حدوداً 130HV () می باشد که با محل شکست نمونه در آزمایش کشش همخوانی دارد. همچنین در نمونه (a) به دلیل بهینه سازی پارامترهای فرایند جوشکاری، حرارت ورودی بهینه می باشد و ساختار در ناحیه همزده به دلیل عملیات مکانیکی ریزدانه می شود و باعث افزایش سختی در این منطقه می شود. در منطقه TMAZ به دلیل اینکه کمتر تحت عملیات ترمومکانیکی قرار گرفته است، نسبت به ناحیه همزده درشت دانه تر شده است و سختی با شبکه کمتری نسبت به ناحیه همزده افزایش پیدا کرده است. در منطقه HAZ نیز به دلیل درشت دانه تر شدن دانه ها، سختی بصورت نامحسوس تری افزایش پیدا کرده است. در نمونه (b) که با پارامترهای قابل قبول جوشکاری شده است در منطقه فلز پایه EN 10025 دارای حداقل سختی (140HV) می باشد با بررسی نتیجه آزمایش کشش نمونه (b) و مقایسه آن با توزیع پروفیل سختی این نمونه ملاحظه می شود که این توزیع سختی نیز با آزمایش کشش همخوانی دارد.

- 4-Ahmed, M. M. Z., Sabbah Ataya, MM El-Sayed Seleman, H. R. Ammar, and Essam Ahmed. "Friction stir welding of similar and dissimilar AA7075 and AA5083." *Journal of Materials Processing Technology* 242 (2017): 77-91.
- 5-Meran, C., and O. E. Canyurt. "Friction Stir Welding of austenitic stainless steels." *parameters* 6 (2010): 13.
- 6-Chung, Young Dong, Hidetoshi Fujii, Yufeng Sun, and Hiroyasu Tanigawa. "Interface microstructure evolution of dissimilar friction stir butt welded F82H steel and SUS304." *Materials Science and Engineering: A* 528, no. 18 (2011): 5812-5821.
- 7-Husain, Md M., R. Sarkar, T. K. Pal, N. Prabhu, and M. Ghosh. "Friction stir welding of steel: heat input, microstructure, and mechanical property co-relation." *Journal of Materials Engineering and Performance* 24, no. 9 (2015): 3673-3683.
- 8-Fazel-Najafabadi, M., S. F. Kashani-Bozorg, and A. Zarei-Hanzaki. "Joining of CP-Ti to 304 stainless steel using friction stir welding technique." *Materials & Design* 31, no. 10 (2010): 4800-4807.
- 9-Chung, Y. D., H. Fujii, R. Ueji, and N. Tsuji. "Friction stir welding of high carbon steel with excellent toughness and ductility." *Scripta Materialia* 63, no. 2 (2010): 223-226.
- 10-Bilgin, Mehmet Burak, and Cemal Meran. "The effect of tool rotational and traverse speed on friction stir weldability of AISI 430 ferritic stainless steels." *Materials & Design* 33 (2012): 376-383.
- 11-Jafarzadegan, M., A. H. Feng, A. Abdollah-Zadeh, T. Saeid, J. Shen, and H. Assadi. "Microstructural characterization in dissimilar friction stir welding between 304 stainless steel and st37 steel." *Materials Characterization* 74 (2012): 28-41.
- 12-Yazdipour, A., and A. Heidarzadeh. "Effect of friction stir welding on microstructure and mechanical properties of dissimilar Al 5083-H321 and 316L stainless steel alloy joints." *Journal of Alloys and Compounds* 680 (2016): 595-603.
- 13-Ramesh, R., I. Dinaharan, Ravi Kumar, and E. T. Akinlabi. "Microstructure and mechanical characterization of friction stir welded high strength low alloy steels." *Materials Science and Engineering: A* 687 (2017): 39-46.
- 14-Cho, Hoon-Hwe, Heung Nam Han, Sung-Tae Hong, Jong-Hwan Park, Yong-Jai Kwon, Seok-Hyun Kim, and Russell J. Steel. "Microstructural analysis of friction stir welded ferritic stainless steel." *Materials Science and Engineering: A* 528, no. 6 (2011): 2889-2894.
- 15-Standard, A. S. T. M. "E8," Standard Test Methods for Tension Testing of Metallic Materials." Annual book of ASTM standards3 (2004): 57-72.
- 16-Fujii, Hidetoshi, Ling Cui, Nobuhiro Tsuji, Masakatsu Maeda, Kazuhiro Nakata, and Kiyoshi Nogi. "Friction stir welding of carbon steels." *Materials Science and Engineering: A* 429, no. 1-2 (2006): 50-57.
- 17-Ahn, B. W., D. H. Choi, D. J. Kim, and S. B. Jung. "Microstructures and properties of friction stir welded

با ضخامت یکسان ۱/۵ میلی متر را می توان از طریق جوشکاری همزنی جوش داد.

-پارامترهای بهینه برای جوشکاری ورق های غیر همجنسب ۳۱۶ EN 10025 و L 316 عبارتند از سرعت چرخش (950 دور بر دقیقه)، سرعت پیش روی (90 میلی متر بر دقیقه) و زاویه انحراف (3 درجه) و همچنین سرعت حرکت خطی، زاویه انحراف به ترتیب روی استحکام ورق های جوش خورده بیشترین اثر را از خود نشان داده اند.

با توجه به کار مکانیکی اندازه دانه ها در ناحیه همزده تا ۲۰ برابر کاهش پیدا می کند و این موضوع باعث ریزدانه شدن و افزایش مرzdانه ها می شود در نتیجه خواص مکانیکی بهبود می یابد.

-نتایج حاصل از آنالیز خطی نشان از اختلاط دو فولاد مورد اتصال در یکدیگر می باشد.

-اتصال غیر همجنسب فولاد 10025 و فولاد زنگ نزن L 316 از سمت پیش ران می شکند و دارای استحکام نهایی 312 MPa می باشد.

-سختی در نمونه جوشکاری شده با پارامترهای بهینه دارای شبیه منفی تقریباً یکسانی از طرف فولاد زنگ نزن L 316 به سمت فولاد 10025 می باشد و در ناحیه همزده به دلیل اختلاط دو فولاد، شبیه سختی بصورت متناوب گاهی با افزایش و کاهش مواجه است.

منابع

- 1-Mishra, Rajiv S., and Z. Y. Ma. "Friction stir welding and processing." *Materials Science and Engineering: R: Reports* 50, no. 1-2 (2005): 1-78.
- 2-Ghaffarpour, Morteza, Sina Kolahgar, Bijan Mollaei Dariani, and Kamran Dehghani. "Evaluation of dissimilar welds of 5083-H12 and 6061-T6 produced by friction stir welding." *Metallurgical and Materials Transactions A* 44, no. 8 (2013): 3697-3707.
- 3-علیمحمدی، ا، جوشکاری فولاد ساده کربنی به روش جوشکاری همزنی و ارزیابی خواص اتصال، دانشکده مهندسی مواد، دانشگاه آزاد اسلامی واحد نجفآباد، گزارش علمی، زمستان ۱۳۹۲.

- (2007): 209-215.
- 21-Hosseini, M., and H. Danesh Manesh. "Immersed friction stir welding of ultrafine grained accumulative roll-bonded Al alloy." *Materials & Design* 31, no. 10 (2010): 4786-4791.
- 22-Qu, S., C. X. Huang, Y. L. Gao, G. Yang, S. D. Wu, Q. S. Zang, and Z. F. Zhang. "Tensile and compressive properties of AISI 304L stainless steel subjected to equal channel angular pressing." *Materials Science and Engineering: A* 475, no. 1-2 (2008): 207-216.
- 23-Habibi, M., R. Hashemi, M. Fallah Tafti, and A. Assempour. "Experimental investigation of mechanical properties, formability and forming limit diagrams for tailor-welded blanks produced by friction stir welding." *Journal of Manufacturing Processes* 31 (2018): 310-323.
- 409L stainless steel using a Si₃N₄ tool." *Materials Science and Engineering: A* 532 (2012): 476-479.
- 18-Ghaffarpour, Morteza, Ahmad Aziz, and Tahae Hossein Hejazi. "Optimization of friction stir welding parameters using multiple response surface methodology." *Proceedings of the Institution of Mechanical Engineers, Part L: Journal of Materials: Design and Applications* 231, no. 7 (2017): 571-583.
- 19-Kalvala, Prasad Rao, Javed Akram, Mano Misra, Damodaram Ramachandran, and Janaki Ram Gabbita. "Low temperature friction stir welding of P91 steel." *Defence Technology* 12, no. 4 (2016): 285-289.
- 20-Fratini, L., G. Buffa, and R. Shivpuri. "Improving friction stir welding of blanks of different thicknesses." *Materials Science and Engineering: A* 459, no. 1-2